

FOTO 1. 32-15 G.S.- A.V. 9301. Se puede observar una cicatriz erosiva (scour) rellena por cuerpos de arenisca de aspecto masivo que se adaptan a la morfología de esta depresión. Estos cuerpos forman en la base capas de areniscas de espesor decimétrico, las cuales presentan granoclasificación, laminación paralela y ripples de corriente. En la parte superior está formado por un banco de arenisca de 2 m. de espesor, masivo, con superficies de reactivación. El conjunto muestra una tendencia cíclica granocreciente y estratocreciente. Estas capas fueron depositadas a partir de flujos gravitatorios: las inferiores de baja densidad y el banco superior por flujos de alta densidad. Según estas características, este tipo de facies corresponden a un lóbulo de crevasse rellenas en varias etapas (límite de hoja con la de Mayals en la zona de Castellans).

PASA A 416 (32-16) MAYALS

FOTO 2. 32-15 G.S.- A.V. 9302. Esta foto está realizada enfrente de la anterior donde se puede observar la pobre entidad lateral de los cuerpos de areniscas.

PASA A 416 (32-16) MAYALS

FOTO 3. 32-15 G.S.- A.V. 9303. Afloramiento en el área del Plá de les Moles. Se observa la parte superior de la Unidad Castellldans. En esta zona se realizó la serie Plá de les Moles (06). Se observa en la parte inferior, areniscas de relleno de paleocanal, un tramo arcilloso, un nivel de arenisca con caliche y otro tramo arcilloso. El techo está representado por areniscas blancas con indicios de estratificación hummocky y una caliza lacustre a techo.

FOTO 4. 32-15 G.S.- A.V. 9304. Detalle de una caliza lacustre de la Unidad Fraga en la serie de Aytona (08). En microfacies revelan un debris de ostrácodos, gasterópodos y caráceas.

PASA A 416 (32-16) MAYALS

FOTO 5. 32-15 G.S.- A.V. 9305. Corte en la carretera de Borges Blanques a Castellldans donde aparece la caliza lacustre y caliches, techo de la Unidad Arbeca.

FOTO 6. 32-15 G.S.- A.V. 9306. Detalle de una caliza lacustre de la unidad de Fraga en la serie de Aytona (08). En microfacies revelan un debris de ostrácodos, gasterópodos, caráceas y en derecha del martillo se observa un fragmento de hueso. **PASA A 416 (32-16) MAYALS**

FOTO 7. 32-15 G.S.- A.V. 9307. Caliza lacustre con una fuerte bioturbación por raíces del techo de la Unidad Afés en la serie de Aytona (09, hoja de Mequinenza). **PASA A 416 (32-16) MAYALS**

FOTO 8. 32-15 G.S.- A.V. 9308. Detalle de los canales de Moredilla donde se pueden observar cortes oblicuos de estratificación en surco a escala de megaripple.

FOTO 9. 32-15 G.S.- A.V. 9309. Afloramiento del canal inferior de Moredilla donde se observa estratificación en surco y acreciones laterales típicas de point bars.

FOTO 10. 32-15 G.S.- A.V. 9310. Detalle del afloramiento de Torres (01) donde se puede observar la acreción lateral de un canal relleno de areniscas de point bar. Por debajo aparece un suelo calcimorfo.

FOTO 11. 32-15 G.S.- A.V. 9311. Afloramiento de Torres (01). La parte inferior pertenece a la Unidad de Fraga, y la superior (apical), a la Unidad de Ballobar. La serie está coronada por un depósito de glacis conocido vulgarmente por el nombre de Piedemonte surpirinaico.

FOTO 12. 32-15 G.S.- A.V. 9312. Detalle de un suelo calcimorfo en la zona de Balsa Bona (Unidad de Castellidans).

FOTO 13. 32-15 G.S.- A.V. 9313. Caliza lacustre con una fuerte bioturbación por raíces del techo de la Unidad Alfés en la zona del embalse de Secà.

FOTO 14. 32-15 G.S.- A.V. 9314. Riera Maixieri en el borde colindante con la Hoja de Mayals. Se observa la parte superior de la Unidad Castellldans. La caliza lacustre que colmata la forma un plano estructural de amplio dominio en la zona.

FOTO 15. 32-15 G.S.- A.V. 9315. Visual sobre la zona de Miravall donde se observa el reflejo estructural de las calizas de techo de las Unidades Arbeca (izquierda) y Castellldans (zona central).

FOTO 16. 32-15 G.S.- A.V. 9316. Afloramiento oriental del pueblo de Castellldans. Aquí se realizó la parte final de la serie de Castellldans (03). En el margen izquierdo se observa el primer nivel carbonatado de la unidad del mismo nombre y en el ápice de la colina el techo carbonatado de la Unidad.

PASA A 416 (32-16) MAYALS

FOTO 17. 32-15 G.S.- A.V. 9317. Pueblo de Castellldans. A la derecha se observan dos niveles estructurales que reflejan los dos niveles carbonatados que se encuentran en la Unidad de Castellldans.

PASA A 416 (32-16) MAYALS

FOTO 18. 32-15 G.S.- A.V. 9318. Detalle de la zona apical de la foto 9316 donde aparecen acreciones laterales en areniscas por debajo de los carbonatos techo de la Unidad de Castellidans.

FOTO 19. 32-15 G.S.- A.V. 9319. Vista desde el pueblo de Artesa de Lérida hacia el SE donde se observa la intensa antropización de los alrededores del río Famosa. Al fondo a la derecha Juneda y a la izquierda Puigvert de Lérida.

FOTO 20. 32-15 G.S.- N.J. 9320. Depósito de piedemonte pirenaico formando la superficie rigurosamente plana de la Sierra Grossa, al O de Lérida. Se dispone sobre los materiales detríticos de la Unidad Ballobar, cuya base se encuentra unos metros bajo el nivel del embalse. SIN UBICACIÓN EN MCC1, NI EN PLANO DE SITUACIÓN DE MUESTRAS.

FOTO 21. 32-15 G.S.- N.J. 9321. Se aprecian las facies superiores de la Unidad Fraga (lutitas rojas con intercalaciones arenosas), la Unidad Ballobar, arenosa, y las gravas de piedemonte pirenaico. SIN UBICACIÓN EN MCC1, NI EN PLANO DE SITUACIÓN DE MUESTRAS.

FOTO 22. 32-15 G.S.- N.J. 9322. Aspecto del impresionante desarrollo de los canales de arenisca fuertemente cementados por carbonato que constituyen la base de la Unidad Fraga en la vertiente norte del Vall de Secà. Este estrato arenoso es continuo a lo largo de más de 6 km hacia el O. SIN UBICACIÓN EN MCC1, NI EN PLANO DE SITUACIÓN DE MUESTRAS.

FOTO 23. 32-15 G.S.- N.J. 9323. De abajo a arriba se observan las facies lutíticas rojizas de la Unidad Alfés, los cuerpos arenosos potentes de la base de la Unidad Fraga, y el depósito cuaternario muy encostrado que forma la superficie. SIN UBICACIÓN EN MCC1, NI EN PLANO DE SITUACIÓN DE MUESTRAS

FOTO 24. 32-15 G.S.- N.J. 9324. Aspecto de la geometría más común de las areniscas en la mitad occidental de la Hoja. Nótese la extraordinaria extensión de las capas tabulares arenosas, sin apenas variación de potencia. En este caso pertenecen a la Unidad Alfés, pero son muy similares a la Unidad Fraga. SIN UBICACIÓN EN MCC1, NI EN PLANO DE SITUACIÓN DE MUESTRAS.

FOTO 25. 32-15 G.S.- S.L. 9325. Afloramiento de los materiales fluviales terciarios en el talud artificial del ferrocarril (P.K. 178); obsérvese la base erosiva del canal superior.

FOTO 26. 32-15 G.S.- S.L. 9326. Vista general de la plataforma de Sierra Grossa desde Valseca y sus laderas.

FOTO 27. 32-15 G.S.- S.L. 9327. Cantos y gravas imbricados con base erosiva sobre los materiales oligocenos. Depósitos fluviales del piedemonte pirenaico (Pleistoceno inferior) en la cantera de Valseca.

FOTO 28. 32-15 G.S.- S.L. 9328. Potente costra calcárea ("caliche") sobre los depósitos del piedemonte pirenaico (Pleistoceno inferior) en la cantera de Valseca.

FOTO 29. 32-15 G.S.- S.L. 9329. Depósitos limo-arenosos en el valle del río Sed (Holoceno) incididos por el propio río.

FOTO 30. 32-15 G.S.- S.L. 9330. Depósitos limo-arenosos con intercalaciones de gravas calcáreas terciarias (Pleistoceno medio) en Sant Sprit.

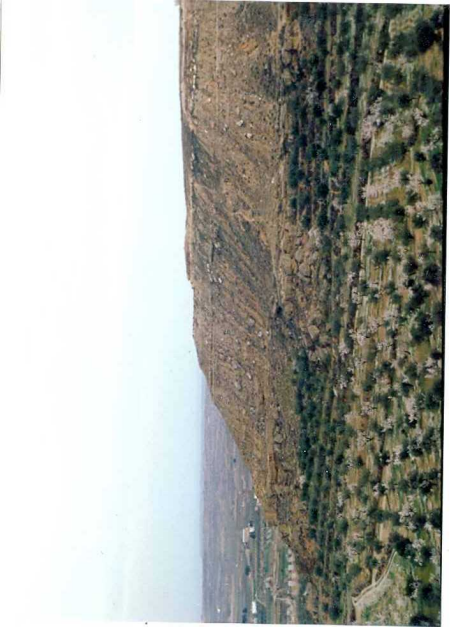
FOTO 31. 32-15 G.S.- S.L. 9331. Gravas y cantos polimícticos incluyendo algunos bloques de materiales terciarios. Terraza del río Segre a +40 m (Pleistoceno medio).



GS-AV-9301, PASA A 416 (32-1C) MAYALS

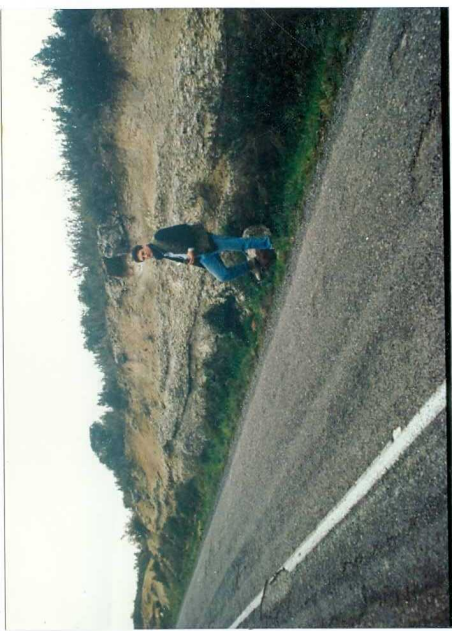


GS. AV. 9302, PASA A 416 (32-16) MAYALS





GS-AV-9304, PASA A 416 (32-16) MAYALS



GS-AV-9306, PASA A H16 (32-16) HAYALS

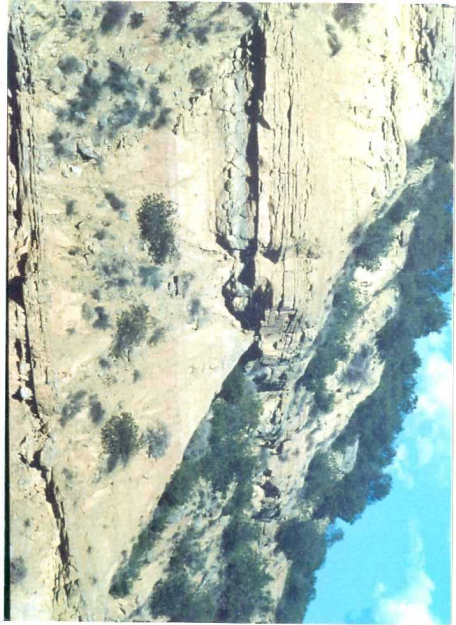




GS-AV-9307, PASA A 416 (32-16) HAYALS











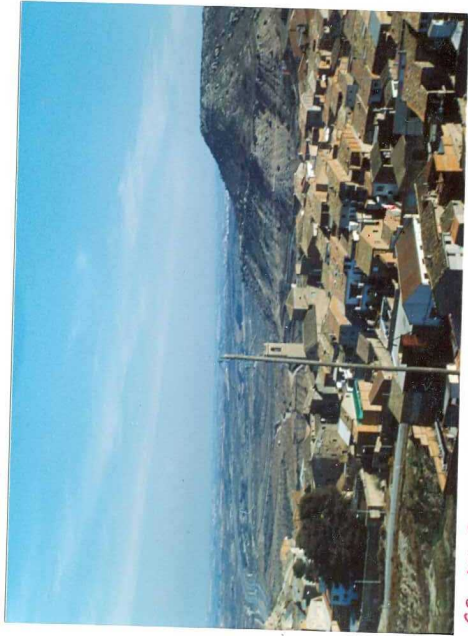




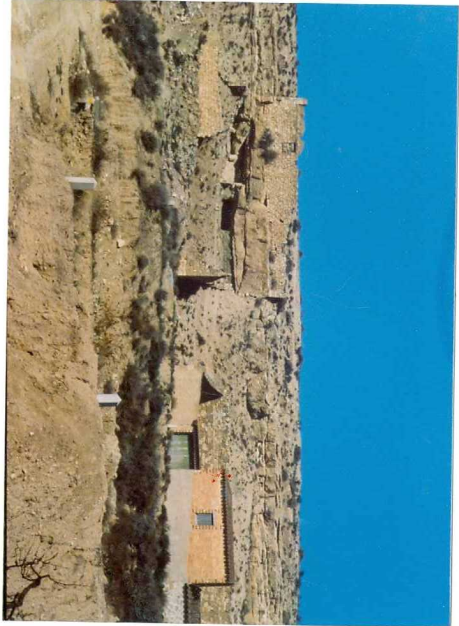




GS-AV-9316, PASA A 416 (32-16) MAYALS



GS-AV-9317. PASA A 416 (32-16) MAYALS







GS-NJ-9320 - SIN UBICACIÓN



GS-NJ-9321-SIN UBICACIÓN



GS-NJ-9322 · SIN UBICACIÓN



GS. NJ-9323 - SIN UBICACIÓN



GS-NJ-9324 - SIN UBICACIÓN











